

## РЕАЛІЗАЦІЯ ФІЛЬТРА КАЛМАНА ДЛЯ ВІДНОВЛЕННЯ ІЗОГІПС ПРИ ПОБУДОВІ КАРТ ЦИФРОВОГО РЕЛЬЄФУ

*В статті досліджений варіант реалізації фільтра Калмана для відновлення ліній рівних висот - ізогіпс.*

**Ключові слова:** *фільтр Калмана, ізогіпси, карти цифрового рельєфу, Open CV, алгоритм відновлення.*

**Вступ.** Використання фільтра Калмана для відновлення ізогіпс в відомій літературі розглянуто недостатньо.

**Матеріали і методи дослідження:** досліджується реалізація фільтра Калмана з алгоритмом відновлення ізогіпсів карти цифрового рельєфу.

**Мета статті:** дослідити використання фільтра Калмана для відновлення ізогіпс при побудові карти цифрового рельєфу.

**Виклад основного матеріалу.** *Реалізація фільтра Калмана через бібліотеку OpenCV.* OpenCV (англ. Open Source Computer Vision Library, бібліотека комп'ютерного зору з відкритим початковим кодом) – бібліотека алгоритмів комп'ютерного зору, обробки зображень і чисельних алгоритмів загального призначення з відкритим кодом. Реалізована на C/C++, також розробляється для Python, Ruby, Matlab, Lua і інших мов. Може вільно використовуватися в академічних і комерційних цілях – поширюється в умовах ліцензії BSD. Фактично, OpenCV – це набір типів даних, функцій і класів для обробки зображень алгоритмами комп'ютерного зору.

Основні модулі бібліотеки:

- 1) *sxcore* – ядро містить базові структури даних і алгоритми:
  - базові операції над багатовимірними числовими масивами;
  - матрична алгебра, математичні функції, генератори випадкових чисел;
  - запис/відновлення структур даних, відновлення/запис XML;
  - базові функції двовимірних (2D) графіків;
- 2) *CV* – модуль обробки зображень і комп'ютерного зору:
  - базові операції над зображеннями (фільтрація, геометричні перетворення, перетворення колірних просторів і т. п.);
  - аналіз зображень (вибір відмітних ознак, морфологія, пошук контурів, гістограми);
  - аналіз руху, стеження за об'єктами;
  - виявлення об'єктів;
  - калібрування камер, елементи відновлення просторової структури;
- 3) *HighGUI* – модуль для введення/виведення зображень і відео, створення призначеного для користувача інтерфейсу:
  - захоплення відео з камер і з відео файлів, читання/запис статичних зображень;
  - функції для організації простого GUI (усі демо застосування використовують HighGUI);
- 4) *Svaux* – експериментальні і застарілі функції:
  - просторовий зір: стерео калібрування, саме калібрування;
  - пошук стерео-відповідності, кліки в графах;
  - знаходження і опис рис об'єктів;

5) CvCam – захоплення відео дозволяє здійснювати захоплення відео з цифрових відео-камер.

Для реалізації програми було використане середовище розробки Microsoft Visual Studio 2008.

**Морфологічні перетворення зображення.** Основні морфологічні перетворення вхідного зображення реалізовані з використанням операцій звуження (Erode) та розширення (Dilate) [1,2]. OpenCV реалізує їх двома функціями:

- 1) cvErode() – розмиває (операція звуження) зображення з використанням фільтра (ядра) один або кілька разів. Зображення формується з локальних мінімумів – тобто будуть збільшуватися темні області);
- 2) cvDilate() – розтягує (операція розширення) зображення з використанням фільтра (ядра) один або кілька разів. Зображення формується з локальних максимумів – тобто будуть збільшуватися світлі області).

У cvErode () ядро накладається на зображення і на місці якоря (центр ядра) залишається мінімальне значення, що лежить під ядром (у разі cvDilate () – навпаки – максимальне).

Ерозія (розмивання/звуження) зображення використовується для позбавлення від випадкових краплень на зображенні. Ідея полягає в тому, що краплень при розмиванні усунуться, тоді як великі і відповідно більш візуально-значущі регіони залишаються.

Розтягування (розширення) так само усуває шум і сприяє об'єднанню областей зображення, які були розділені шумом, тінями. Застосування невеликого розтягування має сплавити ці області в одну.

Морфологічні операції застосовуємо над двійковими зображеннями, які виходять після порогового перетворення і є власно зображеннями ізогіпс.

Створення ядра довільної форми здійснюється функцією cvCreateStructuringElementEx ().

Форму ядра визначаємо через values, яка містить маску, що визначає які сусідні пікселі повинні враховуватися. Values – показник на масив, де ненульові елементи визначають значущі пікселі. Якщо values ≠ NULL всі елементи вважаються ненульовими.

Вибираючи різну структуру ядра, можна вирішувати різні задачі обробки зображень:

- придушення шумів;
- виділення меж об'єкта;
- виділення скелетону об'єкта.

**Знаходження розірваних контурів.** Знаходження розірваних контурів потрібно для того, щоб знайти кінцеві точки розірваних ліній. Для цього потрібна функція cvStartFindContours(). За основу функції узяв детектор кордонів Кенні.

Кордони (межі) – це такі криві на зображенні, уздовж яких відбувається різка зміна яскравості або інших видів неоднорідностей.

Простіше кажучи, край – це різкий перехід/зміна яскравості.

Причини виникнення кордонів:

- зміна освітленості;
- зміна кольору;
- зміна глибини сцени (орієнтації поверхні).

Виходить, що границі відображають важливі особливості зображення, і тому метою перетворення зображення в набір кривих є:

- виділення істотних характеристик зображення;
- скорочення обсягу інформації для подальшого аналізу.

В роботі використовуємо метод виділення кордонів за допомогою детектора кордонів Кенні.

Кроки детектора:

- забрати шум і зайві деталі з зображення;
- розрахувати градієнт зображення;
- зробити края тонкими (edge thinning);
- зв'язати края в контур (edge linking).

Детектор використовує фільтр на основі першої похідної від гауссіану. Оскільки він сприйнятливий до шумів, краще не застосовувати даний метод на необроблених зображеннях.

Кордони на зображенні можуть перебувати в різних напрямках, тому алгоритм Кенні використовує чотири фільтри для виявлення горизонтальних, вертикальних і діагональних кордонів. Скористаємось оператором виявлення кордонів і отримаємо значення для першої похідної в горизонтальному напрямку ( $G_y$ ) і вертикальному напрямку ( $G_x$ ).

**Аналіз відповідних кінців контурів.** Аналіз відповідних кінців контурів виконується методом знаходження Евклідової відстані між кінцевими точками.

Евклідова відстань - найбільш часто використовувана міра відстані. Вона не є географічною відстанню в багатовимірному просторі і обчислюється таким чином

$$P = \sqrt{\sum_{i=1}^N (A_i - B_i)^2}, \quad (1)$$

де  $P$  – відстань між об'єктами  $A$  і  $B$ ;  $A_i$  – значення  $i$ -ознаки об'єкта  $A$ ;  $B_i$  – значення  $i$ -ознаки об'єкта  $B$ .

Природна, з геометричної точки зору, евклідова міра відстані може виявитися безглуздою, якщо ознаки виміряні в різних одиницях. Щоб виправити становище, вдаються до нормування кожної ознаки. Застосування евклідової відстані виправдано в випадках, коли ознаки об'єкта однорідні з фізичним змістом і однаково важливі для класифікації; признаковий простір збігається з геометричним простором.

**Структурна реалізація фільтра Калмана.** Реалізація фільтра Калмана виконана за наступною схемою (рис.1).

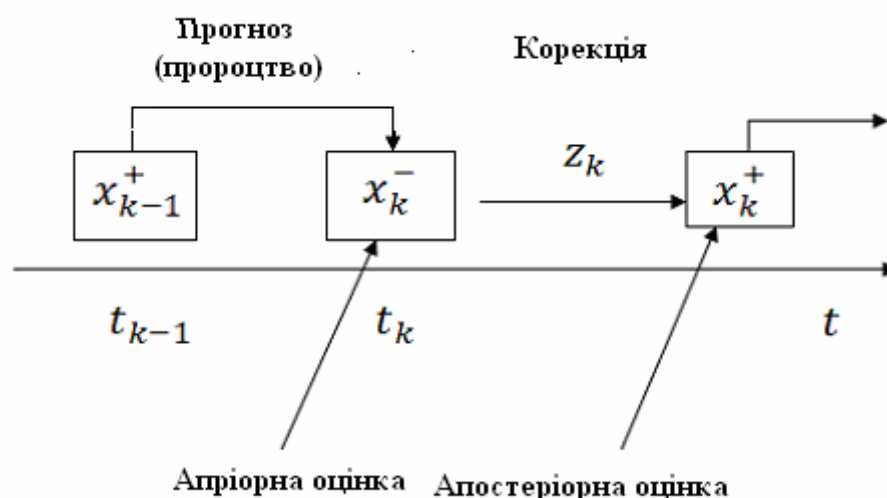


Рис. 1 – Реалізація фільтра Калмана.

Фільтр Калмана працює за системою прогноз-корекція. Припустимо, що в момент часу  $t_{k-1}$  отримана оцінка вектора стану системи  $x_{k-1}^+$  і тепер хочемо отримати оцінку в момент  $t_k$ . Для цього будемо прогноз оцінки  $x_k^-$ , базуючись на  $x_{k-1}^+$ , отримуємо вимірювання  $z_k$  і далі коригуємо оцінку в момент  $t_k$ , базуючись на прогнозі і вимірах, і отримуємо остаточну оцінку вектора стану  $x_k^+$ .  $x_k^-$  називають апіорною оцінкою,  $x_k^+$  називають апостеріорною оцінкою.

В OpenCV фільтр Калмана функціонує наступним чином. Для зберігання стану фільтра Калмана використовується структура `CvKalman`. Фільтр створюється за допомогою функції `cvCreateKalman()`. Прогнозування відбувається за допомогою функції `cvKalmanPredict()`, корекція – функцією `cvKalmanCorrect()`. Ініціалізація відбувається `cvReleaseKalman()`. Ця структура використовується для стандартного фільтра Калмана.

**Практична реалізація відновлення ізогіпсів шляхом калманівської фільтрації.** В якості вхідного зображення для фільтрації було взяте зображення вже відновлене статистичним методом (з використанням об'єктної бази даних з навчанням) (рис.2).

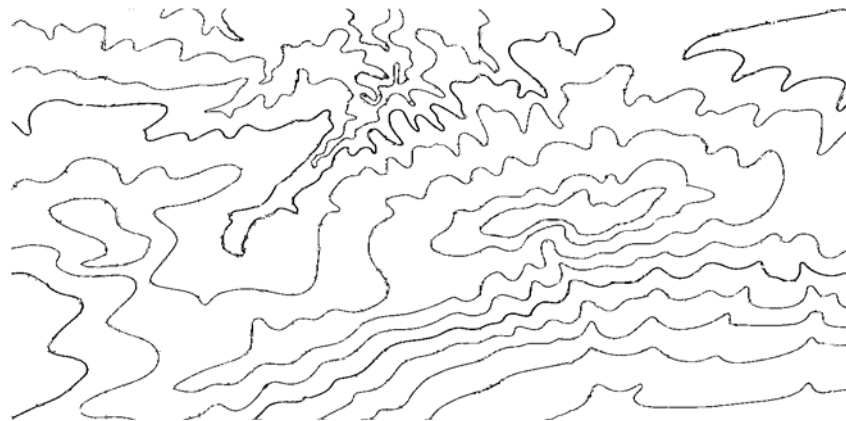


Рис. 2 – Вхідне зображення.

При детальному розгляді видно, що не всі розриви усунені (рис.3).

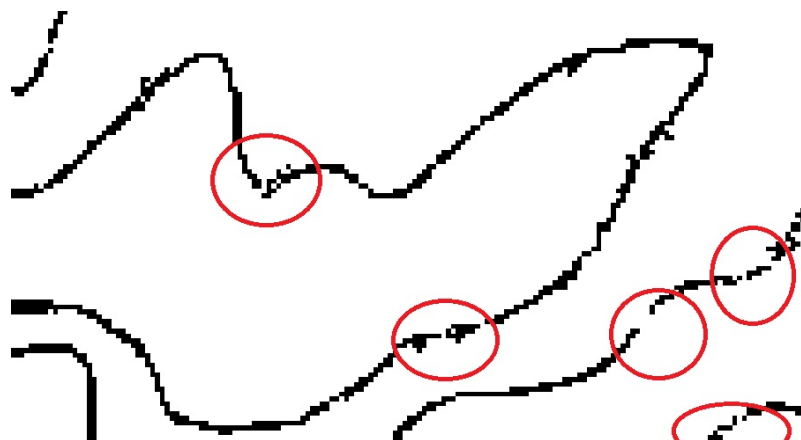


Рис. 3 – Детальний розгляд зображення.

Для аналізу візьмемо частину зображення з найбільшою кількістю розривів (рис.4). Детальний розгляд (рис. 5).

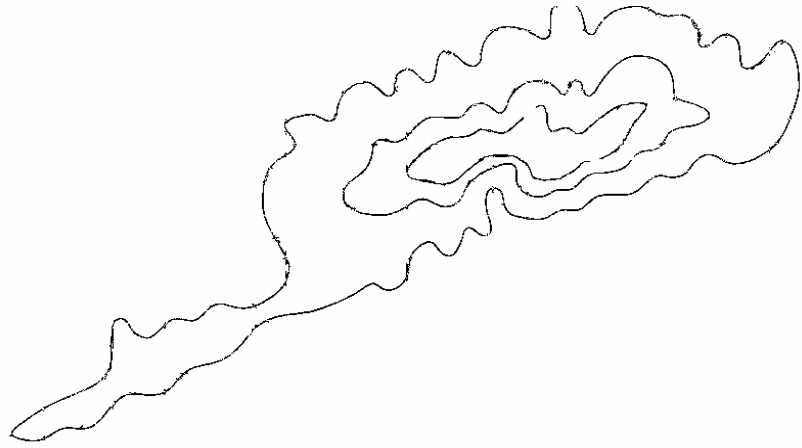


Рис. 4 – Частина зображення для фільтрації.

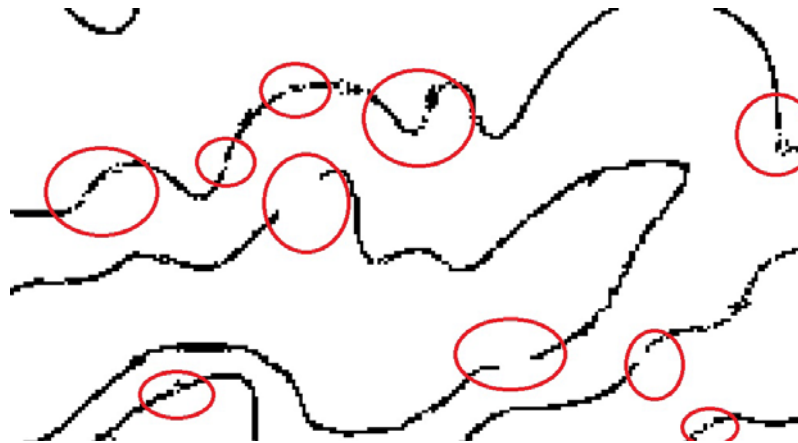


Рис. 5 – Детальний розгляд частини зображення.

Застосуємо алгоритм фільтрації на зображенні поетапно.

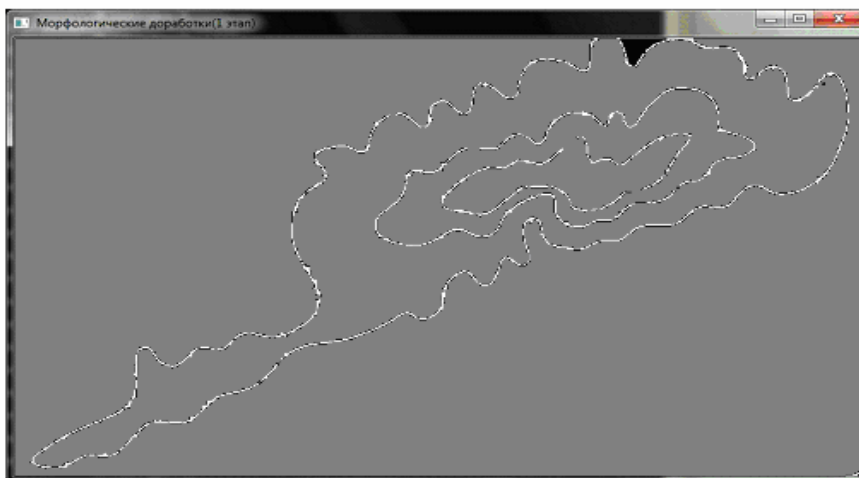


Рис. 6 – Морфологічне доопрацювання зображення.

З рис. 6 видно, що зображення було частково позбавлено шумів та випадкових краплень.

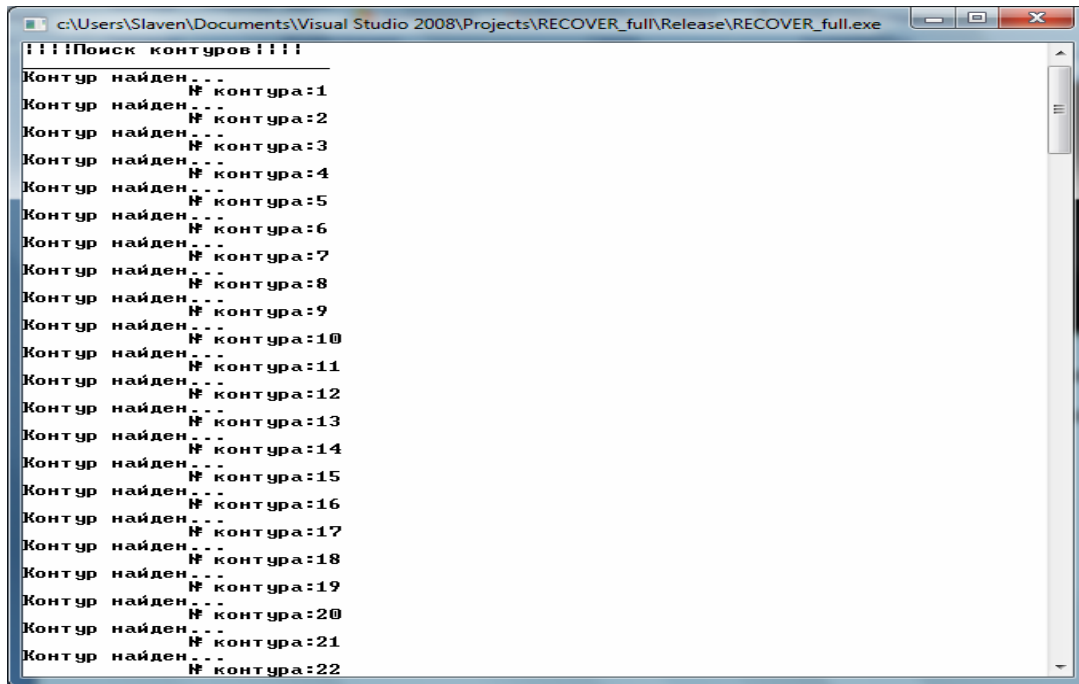


Рис. 7 – Знаходження розірваних контурів.

З рис.7 видно, що в досліджуваному фрагменті є 22 розірваних контури. Застосуємо фільтр Калмана в комплексі з морфологічними перетвореннями. Результати наведені на рис. 8.

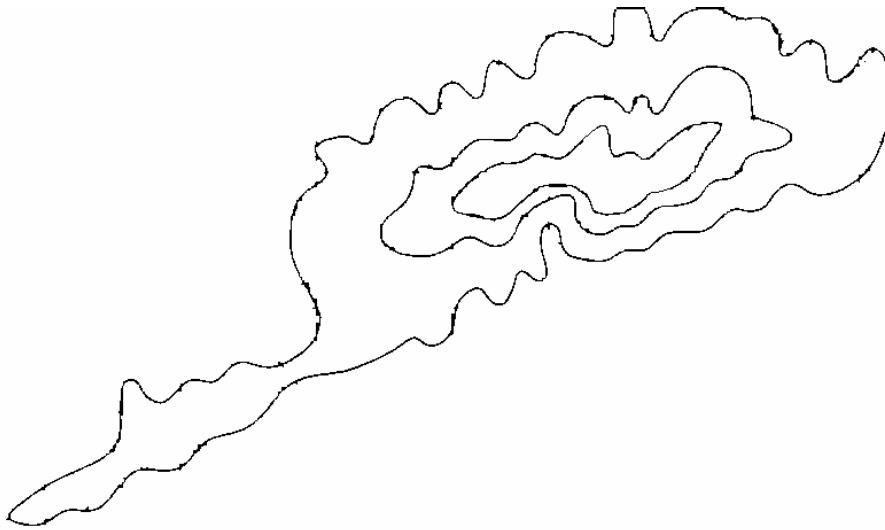


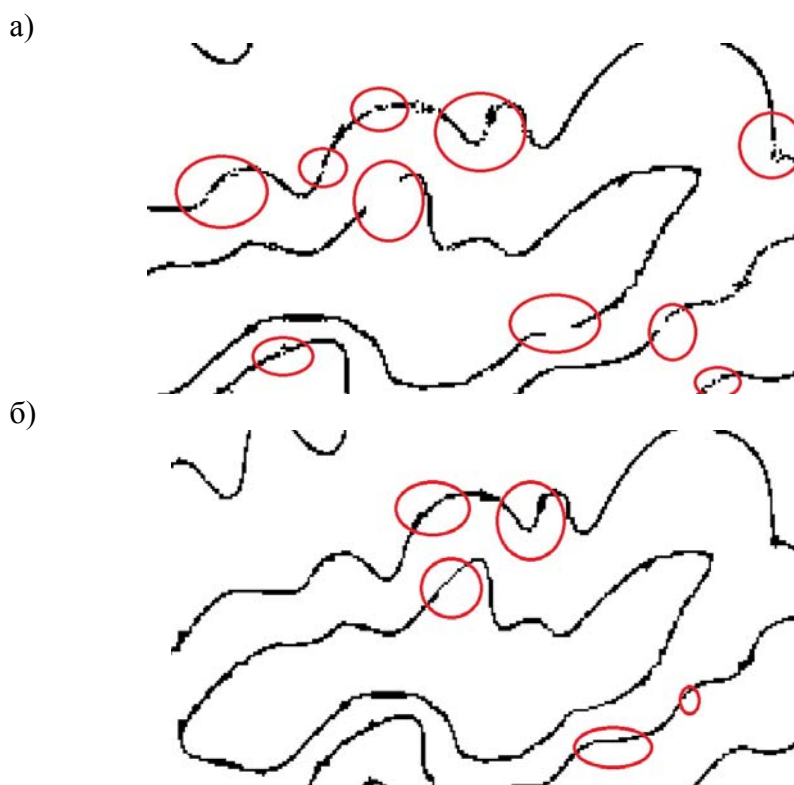
Рис. 8 – Результат калманівської фільтрації.

Роздивимося результат фільтрації детально (рис.9). З рисунку видно, що в результаті обробки вхідного зображення розриви були усунуті.



Рис. 9 – Детальний результат фільтрації.

**Дослідження ефективності відновлення ізогіпс.** Після проведеного дослідження наявно видно, що в результаті відновлення з використанням об'єктної бази даних з навчанням були усунуті далеко не всі розриви ізогіпсів. Зіставимо результати відновлення ізогіпсів з використанням об'єктної бази даних з навчанням і з використанням калманівської фільтрації. Результат порівняння наведений на рис. 10.



а) відновлення з використанням бази даних, б) з використанням фільтра Калмана.

Рис. 10 – Порівняння ефективності відновлення.

З графіка видно, що відновлення ізогіпс за допомогою калманівської фільтрації є значно ефективнішим способом, ніж відновлення з використанням бази даних, що навчається. Це пояснюється тим, що не треба витратити час на оновлення бази даних. Тому процес відновлення можна зробити повністю автоматизованим. Мінуси калманівської фільтрації полягають в тому, що її ефективність напряму залежить від якості вхідного зображення. Цю залежність можна побачити на рис. 12.

З отриманих даних побудуємо графік ефективності.

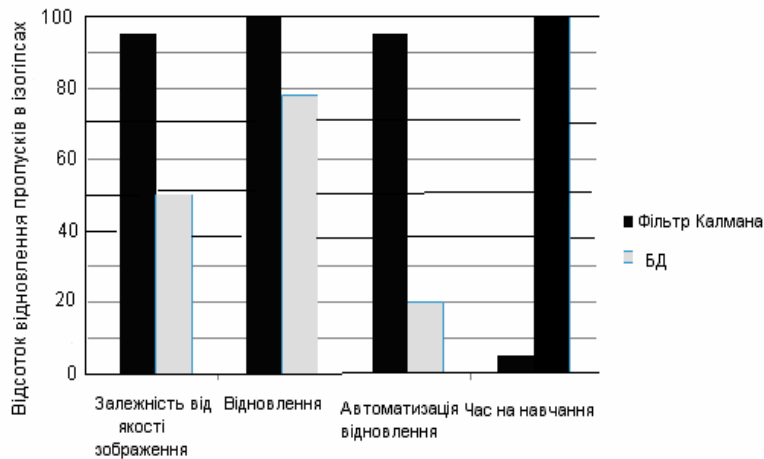


Рис. 11 – Оцінка ефективності відновлення.



Рис. 12 – Залежність калманівської фільтрації від якості вхідного зображення.

**Висновки.** Дослідження показали, що використання фільтра Калмана значно спрощує процес відновлення ліній рівних висот – ізогіпс та автоматизує його.

### Список літератури

1. Bradsky G., Kaehler A. Learning OpenCV - O'Reilly, 2008. - С. 1.
2. OpenCV шаг за шагом. Обработка изображения – морфологические преобразования. [Электронный ресурс] – Режим доступа: <http://robocraft.ru/blog/computervision/319.html>.

**Реалізація фільтра Калмана для відновлення ізогіпс при побудові карт цифрового рельєфу.** Лимонов О.С., Перелыгин Б.В., Пустовит Т.М.

*В статье исследован вариант реализации фильтра Калмана для восстановления равных высот - изогипс.*

**Ключевые слова:** *фильтр Калмана, изогипсы, карты цифрового рельефа, OpenC, алгоритм восстановления.*

**Calman filter for reconstruction for isohypses reconstruction in maps of digital relief creation.**

**Limonov A.C., Pereligin B.V., Pustovit T.M.**

*In article abilities of Calman filter realization for isohypses reconstruction in maps of digital relief creation are investigated.*

**Key words:** *Calman filter, isohypses, maps of digital relief, OpenCV, reconstruction algorithm.*